

矢板式基礎の計算法に関する考察

阪神高速道路公団

正会員

前原

博

"

"

江見

晋

1. まえがき

矢板式基礎は「矢板式基礎の設計と施工指針」(矢板式基礎研究委員会・昭和47年3月)が発行されて以来多くの実績がみられるようになった。この指針では矢板式基礎を1本の弹性支承上の棒としてモデル化している。

土木研究所資料No.175号、1977-2; 矢板式基礎の設計法(その1)による、駒田・岡原の理論では群杭的なモデルで扱っている。われわれはこの理論とモデル化に従事し、実用的な精度を考慮してモデル化と理論を単純化し、計算式の簡易化を試みた。本文ではその概要を紹介する。得られた結果は、モデルの共通性から、杭基礎、多柱式基礎、矢板式基礎等の各形式の基礎を統一的に扱う事が可能となる方法を示唆しているものと思われる。

2. 構造および変形のモデル化

矢板式基礎の頂板部を杭基礎のフーティング部と同様にみなし剛体と仮定し、矢板根入部は多數本の杭部材が集合しているものと考える。矢板式基礎特有の隣り合う矢板間の縫合部処理効果についてはまず無視して考えることとする。基礎の変位は矢板根入部の変形により起ると想え、矢板根入部全体の変形は、部材曲げ変形、全体曲げ変形および水平せん断変形の3種類の変形が重なって生じると考える。この様子を図-1に示す。そして具体的な基礎のモデルとして変形状態を表したもののが図-2である。この図の考え方とは、変形前に平面A-A'にあたり断面は全体曲げ変形により面A''になり、角度 φ をなす。次に部材曲げ変形により各部材に回転変位が加わり階段状の断面A''になり、部材ごとに角度 α_{ai} が加わる。そしてせん断変形が加わると水平軸に対して平行に移動し、水平軸に対する回転角 θ_i 、 α_{ai} は変化しが、鉛直軸に対してはせん断変形角 γ_{ai} が加わり、図の破線で示す位置から実線で示す位置に変るものと考える。各部材間の部材間距離は一定とする。

3. 変位場の仮定

全体座標及び局部座標を図-2、3に示すように設ける。任意点のX軸及びZ軸方向の変位成分を次のようにおく、 $U_i = U_m + U_{mi} + U_\theta$, $W_i = W_{mi} + W_{mi}$ ……(1)

図-1. 変形のモデル化

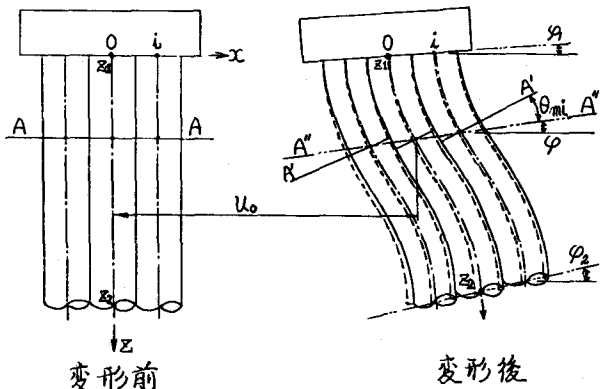
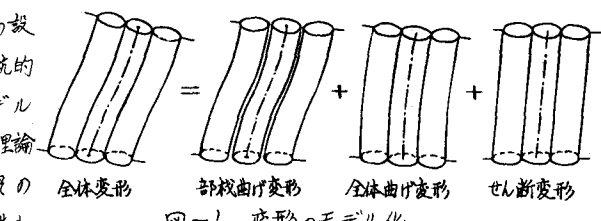


図-2. 変位モデル

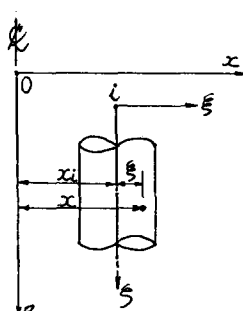


図-3. 局部座標

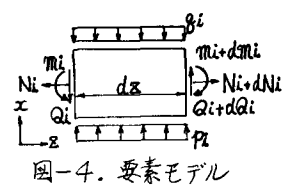


図-4. 要素モデル

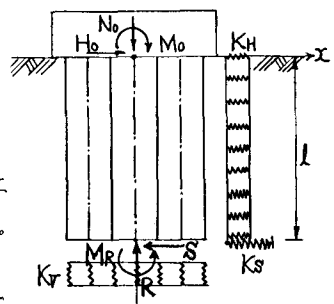


図-5. 基礎のモデル

式中 U_M は部材軸力のねずモーメント M_i による Z 軸方向変位成分, U_α はせん断力による変位成分, $U_{\alpha i}, U_{\alpha i}$ は部材 i の部材モーメント M_i による X , Z 軸方向変位成分, $U_{\alpha i}$ は軸力及び m_i による Z 方向変位成分である。全体中心線の変位は添字 0 を 0 で表す。 Z 軸方向微係数を次のようにおく。 $\frac{d}{dx}() = ()'$ と表す。

$$\theta_i = u_i' = \varphi + \theta_{mo} + \theta_a, \quad \varphi = U_M^0, \quad \theta_{mo} = U_{\alpha i}^0, \quad \theta_a = U_{\alpha i}^0 \quad \dots(2)$$

$$\theta_{mo} = \theta_{mo} \text{ とする} \text{ と 仕意点の変位 } (u_i, w_i) \text{ は} \quad u_i = u_0, \quad w_i = w_0 - \varphi x_i - (\varphi + \theta_{mo}) \frac{x}{E} \quad \dots(3)$$

$$\text{仕意点のひずみ } (\varepsilon_{xi}, \varepsilon_{zi}) \text{ は} \quad \left. \begin{aligned} \varepsilon_{xi} &= \frac{\partial w_i}{\partial x} = w_0' - \varphi z_i - (\varphi + \theta_{mo})' \frac{z}{E} \\ \varepsilon_{zi} &= \frac{\partial u_i}{\partial z} + \frac{\partial w_i}{\partial z} = \theta - \frac{\partial w_i}{\partial z} = \theta_a = u_0' - \varphi - \theta_{mo} \end{aligned} \right\} \quad \dots(4)$$

4. 断面力の定義

部材 i の断面力を (N_i, m_i, Q_i) とし、全体断面の断面力 (N, M_G, M_p, Q) を次のように定義する。

$$N = \sum_i N_i = \sum_i \int_{A_i} \theta_{xi} dA_i, \quad M_G = \sum_i I_{xi} N_i = \sum_i \int_{A_i} \theta_{xi} Z_i dA_i, \quad M_p = \sum_i m_i = \sum_i \int_{A_i} \theta_{xi} \dot{Z}_i dA_i, \quad Q = \sum_i Q_i = \sum_i \int_{A_i} T_{xi} dA_i \quad \dots(5)$$

図-4 に示す微小要素について、分布力と部材断面力が作用する場合の釣合式を考えろ。要素の釣合式は

$$\frac{du_i}{dx} = N_i' = 0, \quad \frac{dm_i}{dx} = m_i' = Q_i, \quad \frac{dQ_i}{dx} = Q_i' = f_i - p_i \quad \dots(6)$$

式(5)をみて微分し式(6)を代入する。ここで $f_i = \sum_j f_{ji}$, $p_i = \sum_j p_{ji}$ とかく

$$N' = \sum_i N_i' = 0, \quad M_G' = \sum_i I_{xi} N_i' = 0, \quad M_p' = \sum_i m_i' = \sum_i Q_i = Q, \quad Q' = \sum_i Q_i' = f - p \quad \dots(7)$$

5. 変位と断面力の関係

E, G を部材のヤング係数及ぶせん断弾性定数とするとき応力は $\sigma_{xi} = E \varepsilon_{xi}$, $T_{xi} = G \varepsilon_{zi}$ であるから、式(5)の断面力は $N = E w_0' \sum_i A_i = EA_g w_0', \quad M_G = -E \varphi' \sum_i A_i x_i^2 = -EI_g \varphi', \quad M_p = -E(\varphi + \theta_{mo})' \sum_i I_{xi} = -EI_p(\varphi + \theta_{mo}), \quad Q = G(u_0' - \varphi - \theta_{mo}) \sum_i A_i = GAG(u_0' - \varphi - \theta_{mo})$ である。式(5)の断面力は $N_i = A_i (\frac{N}{A_g} + x_i \frac{M_p}{I_g}), \quad m_i = I_{xi} \frac{M_p}{I_g}, \quad Q_i = A_i \cdot \frac{Q}{G}$

$$N = A (\frac{N}{A_g} + x \frac{M_p}{I_g}), \quad m = I x \frac{M_p}{I_g}, \quad Q = A \cdot \frac{Q}{G} \quad \dots(8)$$

ここに A_i , I_{xi} は部材 i の断面積と断面2次モーメントである。 $A_g = \sum_i A_i$, $I_g = \sum_i A_i x_i^2$, $I_p = \sum_i I_{xi}$ である。

$$N = A (\frac{N}{A_g} + x \frac{M_p}{I_g}), \quad m = I x \frac{M_p}{I_g}, \quad Q = A \cdot \frac{Q}{G} \quad \dots(9)$$

$$N = A (\frac{N}{A_g} + x \frac{M_p}{I_g}), \quad m = I x \frac{M_p}{I_g}, \quad Q = A \cdot \frac{Q}{G} \quad \dots(10)$$

$$\text{仕意断面の断面力を } (N_z, M_z, Q_z) \text{ とする} \text{ と} \quad N_z = N, \quad M_z = M_G + M_p, \quad Q_z = Q \quad \dots(11)$$

6. 基本方程式

式(8)を式(7)に代入すると次の方程式が得られる。この式は構造体の中心線の変位関数 $(w_0, \varphi, \theta_{mo}, u_0)$ を

$$\begin{aligned} EA_g w_0'' &= 0 & \dots(i), & -EI_g \varphi'' &= 0 & \dots(ii) \\ -EI_p(\varphi + \theta_{mo})'' - GAG(u_0' - \varphi - \theta_{mo}) &= 0 & \dots(iii), & GAG(u_0'' - \varphi' - \theta_{mo}') - f - p &= 0 & \dots(iv) \end{aligned} \quad \dots(12)$$

未知数とした連立微分方程式である。式(12)は群杭的モデルといた場合の基本釣合方程式と考えられる。

7. 実用的解一般解

(a) 気中構造体の一般解と釣合条件式 ($P = f = 0$)

$$\text{一般解;} \quad w_0 = A_1 Z + A_0, \quad \varphi = B_1 Z + B_0, \quad \theta_{mo} = C_2 Z^2 + C_1 Z + C_0, \quad u_0 = D_3 Z^3 + D_2 Z^2 + D_1 Z + D_0 \quad \dots(13)$$

ここで、 $A_0, A_1, B_0, B_1, C_0 \sim C_2, D_0 \sim D_3$ は積分定数で、この定数間に次式の釣合条件が必要である。

$$\text{釣合条件式;} \quad 3D_3 - C_2 = 0, \quad 2D_2 - C_1 - B_1 = 0, \quad 2EI_p + GAG(D_0 - C_0 - B_0) = 0 \quad \dots(14)$$

(b) 土中構造体の一般解と釣合条件式

ここでは $f = \sum_j f_{ji} = Q K_H B_i U_0 \dots(15)$ とかく。 K_H は水平地盤反力係数、 B_i は基礎幅、又は係数とする。

$$\text{さうに次の俠数を定義してかく、} \quad \beta = \sqrt{\frac{K_H B_i}{4 E I_p}}, \quad \psi = \frac{\sqrt{K_H B_i E I_p}}{2 G A_g}, \quad \alpha = \beta \sqrt{1 - \psi}, \quad \eta = \beta \sqrt{1 - \psi} \quad \dots(16)$$

$$\text{一般解;} \quad w_0 = A_1 Z + A_2, \quad \varphi = B_1 Z + B_2, \quad u_0 = e^{\alpha Z} (C_3 \sin \eta Z + C_4 \cos \eta Z) + e^{-\alpha Z} (D_3 \sin \eta Z + D_4 \cos \eta Z) - \varphi \quad \dots(17)$$

$$\text{釣合条件式;} \quad \alpha(2\psi - 1) C_1 + \eta(2\psi + H) C_2 + B_1 = 0, \quad -\eta(2\psi + H) C_1 + \alpha(2\psi - 1) C_2 + D_2 = 0 \quad \dots(18)$$

$$-\alpha(2\psi - 1) C_3 + \eta(2\psi + H) C_4 + B_3 = 0, \quad -\eta(2\psi + H) C_3 - \alpha(2\psi - 1) C_4 + D_4 = 0 \quad \dots(18)$$

ただし $\psi < 1$, $\psi = 1$ により解の関数形が異なる。図-5 に示す基礎モードで、 $Z = 0$, $Z = l$ において断面力及び変形の境界条件(上下の方程式)と上記の釣合条件式により積分定数が定められる。